正弦波変動負荷運動後の Active recovery が換気特性に及ぼす影響

長尾義典¹ 小泉佳右² 藤田幸雄³ ¹鳥取県立米子西高等学校 ²植草学園短期大学 ³千葉大学教育学部

The Effect of Ventilation on Active Recovery after an Intensive Exercise Loaded Sinusoidal Change Yoshinori NAGAO¹ Keisuke KOIZUMI² Yukio FUJITA³ ¹ Yonago-nishi High School ² Uekusa Gakuen Junior College ³ Faculty of Education, Chiba University

Abstract

The purpose of this study was to investigate the effect of active recovery after an intensive cycle exercise in a sinusoidaly loaded mode (sinusoidal exercise: SE). Ten physically fit males performed the 1 0 min SE in the middle of two 10 s maximum cycle exercise tests. The mean value of SE was set to the each subject's ventilatory threshold level (100%Power@VT), with an amplitude of 25%Power@VT and 60 s period. After the SE, the subjects were given an interval recovery (IR) for 10 min. During IR, they rested in a recovery condition either to cycle at a steady level of 50%Power@VT (50%Act) or 25%Power@VT (25%Act), or relaxing in a sitting position (Pas). After IR, the subjects carried out 30 s Wingate test (WT). The blood lactate concentration at the end of IR period was significantly lower in 50%Act (4. 20 \pm 2. 26 mmol / 1) and 25%Act (5. 11 \pm 2. 79 mmol / 1) than Pas (7. 18 \pm 4. 39 mmol / 1; p < 0.01 vs. both conditions). The amount of carbon dioxide production by bicarbonate buffering after the beginning of WT was greater in 50%Act (56.0 \pm 16.1 ml/kg) than Pas (45.6 \pm 10.7 ml/kg; p < 0.05). These results indicate that oxidization of lactic acid during the active recovery inhibits bicarbonate buffering utilization.

I. 緒言

比較的短時間の高強度運動を行なった後には、安静を保持するよりも軽強度の運動を持続(Active recovery)するほうが、その後の運動のパフォーマンスを改善させることが良く知られている。これは、高強度運動中のエネルギー代謝産物である乳酸が、軽強度の運動によって有酸素的エネルギー基質として利用され、筋の酸性化が改善するためである。このような機序によって Active recovery による回復促進効果が得られるために、これまでの研究では1分以内の高強度運動からの回復に対す

る調査が多くなされている^{1) 2)}。しかしながら、 陸上競技等を除いた多くの競技スポーツでは、高 強度運動を単発的に行なうよりも、さまざまな強 度の運動が連続的に繰り返されることが多い。

従来、ラグビーやサッカーなどに代表されるフィールド球技を想定した実験では、短時間の全力運動と完全休養を挟みながら間欠的に繰り返すことで、試合時に近い生理学的状態をつくり上げ、パフォーマンス等の調査が行なわれている^{3) 4) 5)}。しかし実際には、試合中に全力の高強度運動を行なうことはわずか数回で、多くの時間を全力以下

の力でスピードを変化させながらプレイしていると考えられる。宮崎らのは、ラグビー競技1試合中における走動作は、①「歩行」か「ジョギング」、②「7~8割のランニング」、③「全力疾走」、の3種類に主に分けられると述べている。そこで、先行研究の運動プロトコル中における主運動としての間欠的な全力運動を、強度が連続的に滑らかに変化する正弦波状に負荷変動する運動に、改良する必要があると考えられる。この運動を取り入れることで、全力以下の発揮出力を随時変化させながらのパフォーマンスを表現でき、より競技場面に近い形の疲労状態における被験者の身体的状態を測定することができると考えられる。

そこで本研究では、乳酸性定常状態が成り立つ運動強度の指標である換気性作業閾値(Ventilatory threshold:以下 VT)時の負荷強度を基準とし、競技場面により近いと考えられる正弦波状に負荷が変動する運動を主運動に採用したプロトコルを作成した。そしてその後に Active recovery を実施し、発揮出力、呼気ガスによる諸パラメータ、血中乳酸濃度に与える影響について検討することを目的とした。

Ⅱ. 方法

1. 被験者

大学ラグビー部に所属する19~22歳の男子10名を被験者とした。被験者の年齢は20.4 ± 0.800歳、身長は171 ± 4.23 cm、体重は68.0 ± 4.49kg (平均 ± 標準偏差)であった。実験開始に当たり、各被験者に対して本実験の趣旨、目的、方法について十分な説明をし、被験者の了解を得て測定を実施した。

2. VT レベルの負荷強度の測定

本実験に先立ち、最大酸素摂取量($\dot{V}O_2$ max) 及び VT における酸素摂取量($\dot{V}O_2$ @VT)の測定 を目的として、全ての被験者に対し自転車エルゴ メータ(T. K. K. 1254a、竹井機器、東京)を用い た漸増負荷運動テストを行なった。Cycling 運動は、 5分間の騎座位安静の後、クランク回転速度を60 revolutions / min (以下 RPM) とし、疲労困憊まで継続させた。運動の終了は、被験者のクランク回転速度が60 RPM を維持できなくなったときに指示した。初期負荷は、運動開始から3分間は各被験者の体重に応じて0.8 W (0.8 W / kg body mass (以下 kgBM))とし、その後1分毎に0.3 W / kgBM ずつ加増した。

各被験者には、安静時から運動終了時まで呼気ガス採集用マスクを装着させ、呼気ガス分析器 (AE-280、ミナト医科学、大阪)を用いて、酸素摂取量 ($\dot{\mathbf{V}}$ O₂)、二酸化炭素排出量 ($\dot{\mathbf{V}}$ CO₂) 及び換気量($\dot{\mathbf{V}}$ E)を呼吸ごとに計測した。心拍数 (Heart rate:以下 HR) は、胸部双極誘導による心電図法により、安静時から運動終了まで連続的に計測した。

VT は、 $\dot{\mathbf{V}}$ CO₂と $\dot{\mathbf{V}}$ E が非直線的に急激な増加をし始める点とし、その時の $\dot{\mathbf{V}}$ O₂を $\dot{\mathbf{V}}$ O₂@VT と判定した。また $\dot{\mathbf{V}}$ O₂@VT の $\dot{\mathbf{V}}$ O₂max に対する割合(%@ $\dot{\mathbf{V}}$ O₂max)を算出した。

さらに、 $\dot{\mathbf{V}}\mathbf{O}_2$ @VT で定常状態を維持することができるような負荷強度(Power@VT)を測定した。3分間騎座位安静の後、最大漸増負荷運動テストと同じ自転車エルゴメータを用いた Cycling 運動を、初期負荷 $0.8~\mathrm{W}/\mathrm{kgBM}$ で3分間、その後は手動で1分間に $5\sim10~\mathrm{W}$ ずつ加増して行なった。これにより、 $\dot{\mathbf{V}}\mathbf{O}_2$ が $\dot{\mathbf{V}}\mathbf{O}_2$ @VT のレベルを維持できる際の負荷強度を判定し、その強度を $100~\mathrm{W}$ Power@VT とした。

3. 本実験のプロトコル

本実験のすべての運動は、予備実験と同じ自 転車エルゴメータを用いた Cycling 運動を採用し た。本実験のプロトコルは、Fig. 1に示した。

3分間の騎座位安静後、10分間の定常負荷運動(Warm-up:以下 W-up)を実施した。W-up は、予備実験で得られた100%Power@VT の半分の強度(50%Power@VT)で、60 RPM のクランク回転速度で実施した。この期間を以下 W-up 期と称する。W-up 期終了後、10秒間全力運動(1st test

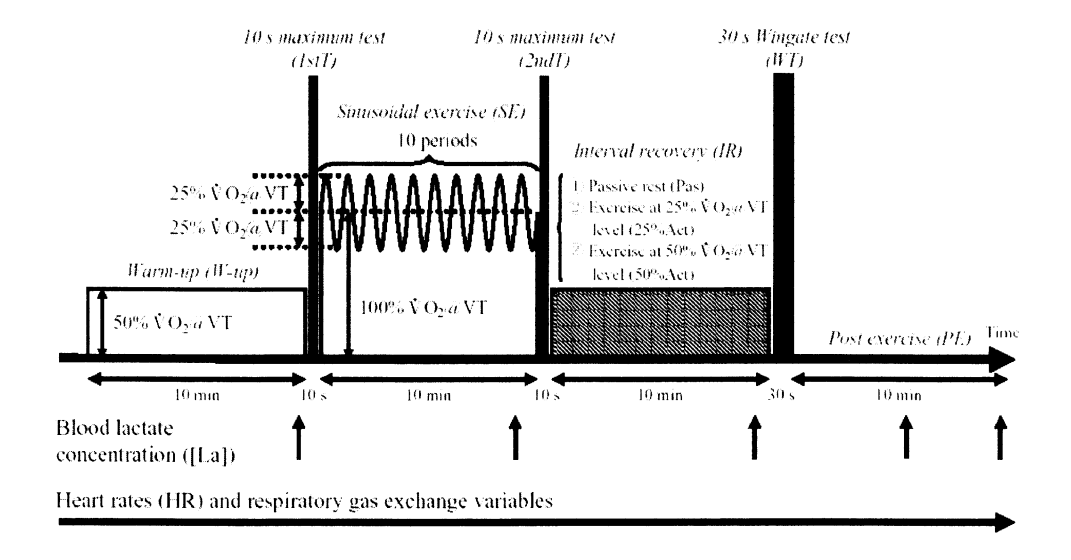


Fig. 1. Experimental protocol and measurement of main testing.

The subjects performed a 10 s maximum test (1stT) after 10 min warm-up (W-up) loaded 50% of oxygen consumption at ventilatory threshold level (50% \dot{V} O₂(\dot{u} VT). The subjects then carried out an intensive exercise loaded sinusoidal change (SE) for 10 min. After the SE, the subjects again performed a 10 s maximum test (2ndT) and was given 10 min interval recovery period (IR). In the IR, the subjects underwent some condition of the passive rest (Pas), the exercise loaded 25% \dot{V} O₂(\dot{u} VT (25%Act) or 50% \dot{V} O₂(\dot{u} VT (50%Act). After the IR, the subjects performed 30 s Wingate test (WT). Blood lactate concentrations were measured at the end point of W-up, SE and IR, and 5 and 10 min after WT (Post exercise: PE). Heart rates (HR) and respiratory gas exchange variables were measured throughout the testing period.

:以下1stT)を実施した。1stT で負荷するトルク は、クランク1回転あたりの仕事が被験者の体重あ たり4.41 J (4.41 J / revolution / kgBM) となる ように設定した7)。また被験者には、運動中にサ ドルから腰を浮かさないことやペース配分せず最 初から全力で行なうことを指示した。その後、10 分間の正弦波負荷運動 (Sinusoidal exercise:以下 SE) を60 RPM のクランク回転速度で実施した。SE の負荷の中心値は100%Power @ VT、振幅値は25 %Power@VT、周期は60秒に設定した。この期間 を以下 SE 期と称する。SE 期終了後に、再度10秒 間全力運動 (2nd test:以下2ndT) を、1stTと同 じ負荷条件で実施した。その後10分間の回復期間 を置いた (Interval recovery 期間:以下 IR 期)。IR 期では、50%Power@VT強度での定常負荷運動(5 0%Act 条件)、25%Power@VT 強度での定常負荷

運動(25%Act 条件)及び騎座位安静(Pas 条件)のいずれかを、ランダムに選択して実施した。IR 期終了後、30秒間全力運動(Wingate test:以下WT)を1stT及び2ndTと同じ負荷条件で実施した。全運動終了後(Post exercise 期間:以下PE 期)は、10分間騎座位安静を保持した。

本実験は IR 期の条件を変えて計3回、それぞれ24時間以上の間隔を空け、各被験者が全ての条件で実施するようにした。

4. 本実験の測定項目

①発揮出力 1stT、2ndT 及び WT の発揮パワーの最大値(以下 Peak Power / kgBM)を求めた。また WT においては、30秒間の総仕事(以下 Total Work / kgBM)、及び発揮パワー減衰の時定数(以下 Time constant)を、パワーの最大値から減少する数値を指数回帰することにより求めた。発揮出

二の記録は0.2 sごとに連続的に行なった。

②血中乳酸濃度 W-up 期終了時、SE 期終了時、IR 期終了時、PE 期開始1分後(以下 PE 期1分)、5分後(以下 PE 期5分)及び10分後(以下 PE 期10分)に指尖から採血し、簡易血中乳酸測定器(ラクテートプロ、アークレイ、京都)を用いて血中乳酸濃度([La])を測定した。W-up 以降の[La]の値から W-up 期終了時の値を減じた値(以下 Δ [La])を算出した。

③換気特性諸パラメータ及び HR 本実験のW-up 期、SE 期及び IR 期における $\dot{\mathbf{V}}$ O₂、 $\dot{\mathbf{V}}$ CO₂、 $\dot{\mathbf{V}}$ E 及び HR は、各期間終了前30秒間の数値を平均した。WT においては、運動30秒間の平均値を求めた。PE 期1分、5分及び10分では、その時点を含む前後15秒間、合計30秒間の値を平均化した。本研究では、エネルギー代謝系以外に産生されたCO₂ (過剰二酸化炭素排出量:CO₂excess) は、 $\dot{\mathbf{V}}$ CO₂から $\dot{\mathbf{V}}$ O₂を減じることにより算出した 8 9) 10 0。また WT 開始時から PE 期5分及び10分までの CO₂excess の総量を Total CO₂excess と定義し、算出した。

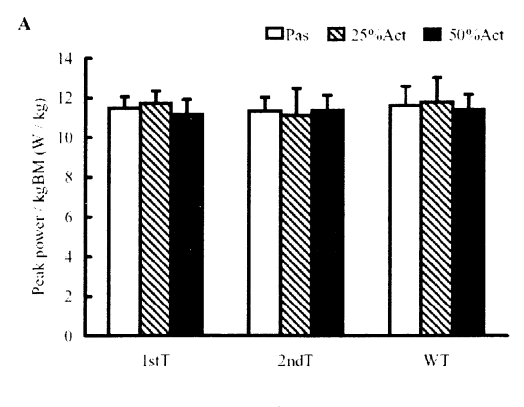
5. 統計処理

各値は平均値 ± 標準偏差で示した。条件間の差を検定するため、繰り返しのない二元配置の分散分析を用いた。分散分析の結果、群間に有意な差があった場合には、Tukey の方法による多重比較を行なった。いずれも有意水準は5%未満とした。

Ⅲ. 結果

1stT、2ndT 及び WT の発揮出力を、Fig. 2に示した。1stT及び2ndT中の Peak power / kgBM (Fig. 2A) には、統計的な差は認められなかった。また WT 中の Peak power / kgBM (Fig. 2A)、Work / kgBM (Fig. 2B) 及び Time constant (Fig. 2C) にも、統計的な差は認められなかった。

 $\dot{\mathbf{V}}\mathbf{O}_2$ / \mathbf{kgBM} の変化を \mathbf{Fig} . 3に示した。 \mathbf{IR} 期では、50%Act 条件、25%Act 条件、 \mathbf{Pas} 条件の順で高い数値を示し、すべての条件間に有意差がみ



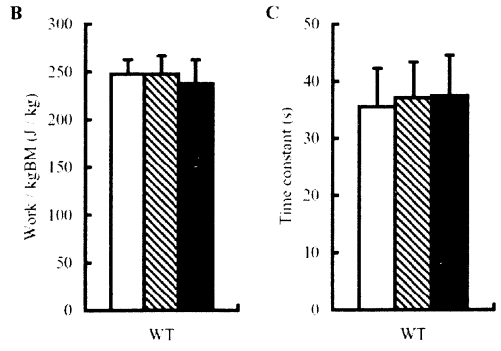


Fig. 2. Comparisons of Peak power \times kg body mass (kgBM) (A), Work \times kgBM (B) and Time constant (C) in 1stT, 2ndT and WT among different IR conditions (Pas, 25% Act or 50% Act). Data are means (\pm SD).

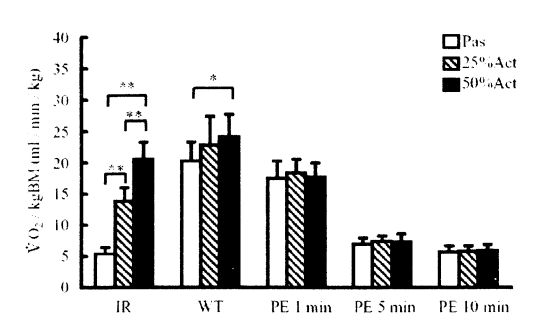


Fig. 3. Comparisons of $|\hat{V}O_2|/kgBM$ among different IR conditions (Pas. 25%Act, 50%Act) at IR. WT, and PE 1, 5 and 10 min. Data are means (\pm SD). $|\hat{V}O_2|/kgBM$ at IR was significantly higher among all combinations of each condition. In WT, $|\hat{V}O_2|/kgBM$ was higher in 50%Act than in Pas. **; p \approx 0.01 and *; p \approx 0.05.

られた (それぞれ p < 0.01)。また WT においては、50%Act 条件が、Pas 条件よりも有意に高かった (p < 0.05)。一方で、PE 期1分、5分及び10分では、条件間に有意な差はみられなかった。

 \dot{V} CO₂ / kgBM の変化を Fig. 4に示した。IR 期では、50%Act 条件、25%Act 条件、Pas 条件の順

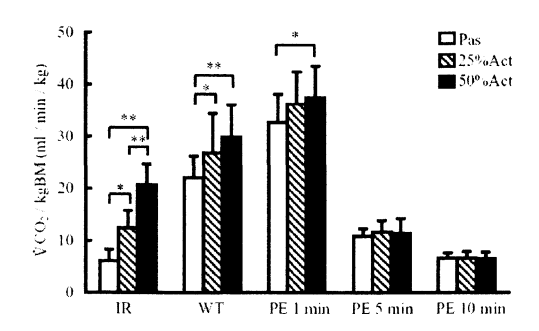


Fig. 4. Comparisons of $VCO_2/kgBM$ among different IR conditions (Pas. 25%Act, 50%Act) at IR, WT, and PE 1, 5 and 10 min. Data are means (£ SD). $VCO_2/kgBM$ at IR was significantly higher among all combinations of each condition. In WT, $VCO_2/kgBM$ was higher in 55%Act than in Pas. and higher in 25%Act than in Pas. In PE 1 min, $VCO_2/kgBM$ was higher in 50%Act than in Pas. 10% Act than in Pas. 10% Ac

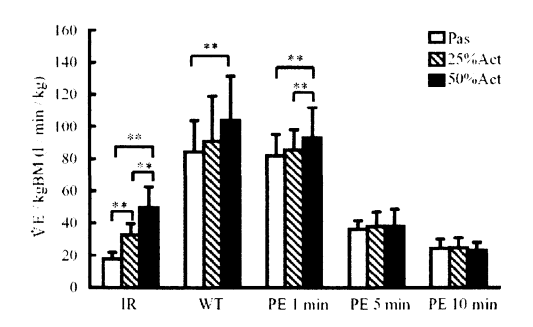


Fig. 5. Comparisons of $|\hat{V}| = kgBM$ among different IR conditions (Pas. 25%Act, 50%Act) at IR, WT, and PE 1, 5 and 10 min. Data are means (£ \$D). $|\hat{V}| = kgBM$ at IR was significantly higher among all combinations of each condition. In WT, $|\hat{V}| = kgBM$ was higher in 50%Act than in Pas. In PE 1 min, $|\hat{V}| = kgBM$ was higher in 50%Act than in 25%Act. **; p < 0.01.

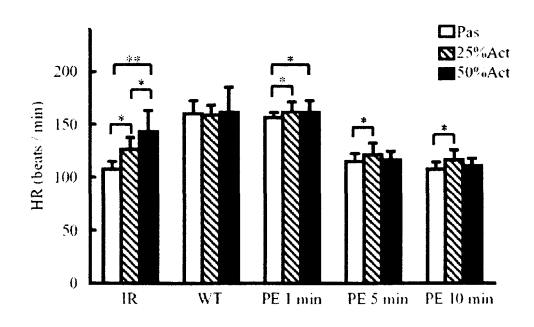


Fig. 6. Comparisons of HR among different IR conditions (Pas, 25%Act, 50%Act) at IR, WT, and PE 1, 5 and 10 min. Data are means (\pm SD). HR at IR was significantly higher among all combinations of each condition. In PE 1 min, HR was higher in 50%Act than in Pas, and higher in 25%Act than in Pas. In PE 5 and 10 min, HR was higher in 25%Act than in Pas. **.* p < 0.01 and **; p < 0.05

で高い数値を示し、すべての条件間に有意差がみられた(25%Act 条件と Pas 条件間; p < 0.05、それ以外の条件間; p < 0.01)。WT においても、IR 期と同じ順で高い値を示し、50%Act 条件と Pas 条

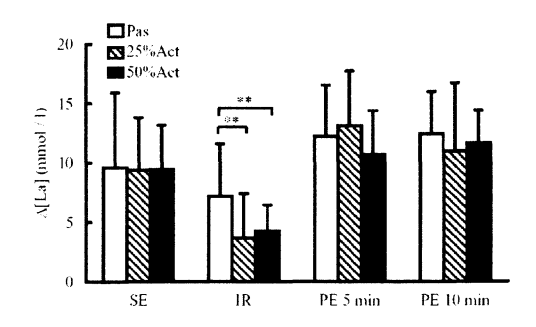


Fig. 7. Comparisons of $\Delta[La]$ among different IR conditions (Pas. 25% Act, 50% Act) at SE, IR, and PE 5 and 10 min. Data are means (\pm SD). $\Delta[La]$ at IR was significantly higher in 50% Act than in Pas, and higher in 25% Act than in Pas. **; p < 0.01.

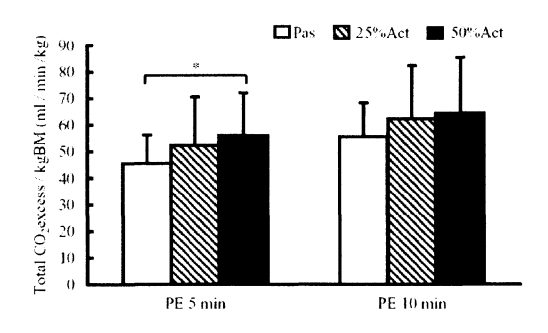


Fig. 8. Comparisons of Total CO₂excess # kgBM among different IR conditions (Pas, 25%Act, 50%Act) at 5 and 10 min. Data are means (\pm SD). Total CO₂excess # kgBM at PE 5 min was significantly higher in 50%Act than in Pas. p \sim 0.05.

件間 (p < 0.01)、及び25%Act 条件と Pas 条件間 (p < 0.05) で有意な差を示した。さらに PE 期1 分では、50%Act 条件が、Pas 条件よりも有意に高かった(それぞれ p < 0.05)。

 $\dot{\mathbf{V}}$ E / kgBM の変化を Fig. 5に示した。IR 期では、50%Act 条件、25%Act 条件、Pas 条件の順で高い数値を示し、すべての条件間に有意差がみられた(それぞれ p < 0.01)。また WT においては、50%Act 条件が、Pas 条件よりも有意に高かった(p < 0.01)。さらに PE 期1分では、50%Act 条件が、25%Act 条件及び Pas 条件よりも有意に高かった(それぞれ p < 0.05)。

HR の変化を Fig. 6に示した。IR 期では、50%Act 条件、25%Act 条件、Pas 条件の順で高い数値を示し、すべての条件間に有意差がみられた(50%Act 条件と Pas 条件間;p 〈 0.01、それ以外の条件間;p 〈 0.05)。しかし WT においては、条件

間の差はみられなかった。一方で PE 期1分では、50%Act 条件及び25%Act 条件が、Pas 条件よりも有意に高かった(それぞれp < 0.05)。また、PE 期5分及び10分では、25%Act 条件が、Pas 条件よりも有意に高かった(それぞれp < 0.05)。

 Δ [La]の変化を Fig. 7に示した。IR 期終了時では、50%Act 条件及び25%Act 条件が、Pas 条件よりも有意に低い値を示した(それぞれ p < 0.05)。一方で、WT を実施した後の PE 期5分及び10分では、条件間に一定の傾向はみられなかった。

WT 開始からの Total CO_2 excess / kgBM を Fig. 8に示した。PE 期5分では、50%Act 条件が Pas 条件よりも有意に高い値を示した(p < 0.05)。PE 期10分でも同様の平均値間の差異がみられたが、有意差は認められなかった。

IV. 考察

本研究において、SE 期の HR は177 ± 11.2 beats / min であり、ラグビー競技をモデル化した 千葉による研究"で得られた主運動中の HR であ る160 beats / min 以上という結果に当てはまるも のであった。さらに SE 期の $\dot{\mathbf{V}}$ O₂は被験者の $\dot{\mathbf{V}}$ O₂ max に対して約78%となっている。この結果も、8 0%**V**O₂max という千葉による研究¹¹⁾によって得ら れた%**V**O₂max とほぼ同じ値を示している。さら に、SE 期終了時における[La]は12.3 ± 4.13 mmol / 1であり、千葉の研究¹¹⁾で得られた11.23~ 12.28 mmol / 1という値とほぼ等しい値を示して いる。また、10本の間欠的運動を採用した Gaitanos らの研究³⁾では12.6 ± 1.5 mmol/l であった。こ れらパラメータの結果と先行研究の結果を総合的 に判断して、本研究における SE の運動強度は、 ラグビーの試合中の運動強度を想定したものとし て十分に適したものであった。また、運動形態と して正弦波負荷運動を採用したことにより、生体 に連続的に負荷をかけることが可能となった。そ のため、実際の競技中の運動負荷をモデル化した プロトコルとして従来行なわれてきた、完全休息 を伴う高負荷の間欠的運動よりも、さらに実践に

近い形の生理的状態を作り出すことが出来たと推 察される。

1stT と2ndT の全力運動における Peak power はほぼ同じ値を示しており、有意な差はみられなかった。SE 直後の2ndT を行なう際には、換気特性の諸パラメータや HR 及び $\Delta[La]$ の値から、被験者はかなり疲労が蓄積した状態であったことが推測される。それにもかかわらず、W-up 直後でまだ余裕がある状態での1stT とほぼ同じ値を示しているのは、① W-up での運動が不十分だったことにより1stT で十分に力を出し切れていなかった、② SE が主に血中乳酸値の上昇を引き起こす解糖一乳酸系のエネルギー代謝を用いた運動であったのに対し、10秒間全力運動は ATP-PCr 系をエネルギー供給の主体とした運動であったために変化を示さなかった、などの理由によると考えられる。

VT レベル以上の高負荷の運動を行なうと、糖の分解が進み乳酸の産生が著しく増加する。その結果、エネルギー基質として代謝される乳酸の量よりも産生される量のほうが多くなり、細胞内水素イオン濃度の増加によって筋内 pH を低下させ、代謝性アシドーシスを引き起こす¹²⁾。そのため、解糖系律速酵素活性の低下や筋小胞体のカルシウム放出の悪化などが誘引され、筋疲労が助長する。Active recoveryは、このような条件下で低強度の運動を行ない筋収縮のためのエネルギー需要量を高め、その運動のエネルギー基質として乳酸がより利用される¹³⁾。

本研究では、 $\Delta[La]$ が、IR 期において Active recovery を行なった50%Act 条件及び25%Act 条件で、Pas 条件よりも有意に低い値を示した。この結果から、IR に行なった Active recovery が同様のメカニズムにより、SE で蓄積された乳酸の代謝を促したと考えられる。

さらに IR 期では、 $\dot{\mathbf{V}}$ O₂、 $\dot{\mathbf{V}}$ CO₂、 $\dot{\mathbf{V}}$ E 及び HR において、50%Act 条件及び25%Act 条件が Pas 条件よりも有意に高い値を示している。この結果に関しては、IR 期に Active recovery を行なうと、低強度とはいえ運動をすることになるので、安静を

保つ Pas 条件に比べて換気特性諸パラメータ及び HR の増加がみられるのは当然のことである。 Active recovery による $\dot{\mathbf{V}}\mathbf{O}_2$ の増大は、多量の酸素を組織に運ぶことに繋がり、乳酸の代謝を高めるとともに、安静状態よりも ATP の生成を効率よく行なうことが出来ると推測される。

また、Active recovery の効果として、運動の継続によって、全身性の血液循環を高く保持し、活動筋で産生された乳酸を、心筋あるいは他の骨格筋に素早く拡散させ代謝を早めると考えられている 14)。本研究でも IR 期では、Active recovery を行なうことによって HR は高まり Δ [La]は低下した。しかし一方で PE 期をみると、50%Act 条件では PE 期 1 分で、 $^{25\%}$ Act 条件では PE 期 1 、 5 5

 $\Delta[La]$ は、IR 期終了時すなわち WT 開始直前では有意な差があったにもかかわらず、WT を実施した後の PE 期5分及び10分の結果をみると、条件間に差がみられなくなった。このように Active recovery で低下した乳酸濃度が、その後の高強度運動によりまた差がなくなる結果は、先行研究における知見と一致している16)。

このことは、乳酸を産生しながらエネルギーを供給するシステムに大きく関連するものと思われる。乳酸が産生されると水素イオンが分離するが、pHの低下は解糖系律速酵素であるフォスフォフルクトキナーゼの不活性化を助長する¹⁷⁾。つまり、ある一定量の水素イオンの蓄積が、酵素活性を低下させ、乳酸産生を抑制したのではないかと考えられる。

WT 開始時から排出された Total CO₂excess の 比較では、PE 期5分での50%Act 条件が Pas 条件に 対して有意に高い結果を示しており、また有意で はなかったが25%Act条件でも Pas条件よりも高い 平均値を示している。このことは、Active recovery を実施したほうが、WT 開始後の CO2excess 排出 量が多かったことを示している。CO2excess は、 重炭酸系緩衝作用の貢献度を示す指標として用い られる^{18) 19)}。IR 期に Active recovery を実施する と、高強度の SE などでのエネルギー代謝で産生 された乳酸の多くは、有酸素性エネルギー代謝の エネルギー基質として利用され、代謝される。一 方で、IR 期に安静を保持すると、産生された乳酸 は、エネルギー基質として利用されないため乳酸 イオンと水素イオンとして筋中や血中に蓄積され る。そのため、水素イオンは重炭酸イオンにより 中和され、筋内及び血中の酸性度を保つ。このよ うに、Active recovery を行なわず安静の状態であ ると重炭酸イオンの消失は多く、反対に Active recovery を実施することにより重炭酸イオンの消 失は少なく済むものと考えられる。これにより重 炭酸イオンの残余を多く残すことができ、WT に より産生された乳酸を重炭酸系で多く緩衝するこ とが可能となり、CO2excess の排出量も高まった のであろう。

以上のことから、10分間の SE 後に Active recovery を実施すると、 $\dot{\mathbf{V}}$ O₂は増加し、かつ Δ [La] は低下し、乳酸の有酸素性代謝が高まることが示唆された。また、その後に高強度運動である WT を実施すると、WT 前に Active recovery を実施していたほうが Total CO₂ excess は増加し、Active recovery によって重炭酸系緩衝能を保持することが出来ることが示唆された。

V. 結論

本研究では、VT レベルの VOを基準として、 従来の運動負荷モデルよりもラグビーやサッカー などのフィールド球技中に近い負荷モデルと考え られる高強度の SE を作成し、被験者に実施させ た。そして、その直後の回復期間に50%Act条件、 25%Act条件及び Pas 条件を設け、その後の WT の 発揮出力、血中乳酸、換気特性諸パラメータ及び

- HR に与える影響を検討し、以下のような結果を 得た。
- 1. WT における発揮出力に関しては、条件間に有意な差は認められなかった。
- 2. Δ [La]は、回復期間終了時において、50%Act 条件及び25%Act 条件は Pas 条件よりも、有意に低 下した。また、WT 終了後にはその差はみられな くなった。
- 3. Active recovery を実施することにより、WT後の Total CO₂excess が増加した。これは、Active recovery により乳酸の酸化的代謝が亢進することで、従来乳酸によるアシドーシスを緩衝する機構である重炭酸系緩衝作用にかかる負担を減少できたものと考えられた。

VI. 参考文献

- Bogdanis, G. C., Nevill, M. E., Lakomy, H. K. A., Graham, C. M. and Louis, G.: Effects of active recovery on power output during repeated maximal sprint cycling, Eur. J. Appl. Physiol., 74, 461-469, 1996.
- McEniery, C. M., Jenkins, D. G. and Barnett,
 C.: The relationship between plasma potassium concentration and muscle torque during recovery following intense exercise, Eur. J. Appl. Physiol., 75, 462-466, 1997.
- Gaitanos, G. C., Williams, C., Boobis, L. H., and Brooks, S.: Human muscle metabolism during intermittent maximal exercise, J. Appl. Physiol., 75, 712-719, 1993.
- 4) Christmass, M. A., Dawson, B., Passeretto, P., and Arthur, P. G.: A comparison of skeletal muscle oxygenation and fuel use in sustained continuous and intermittent exercise, Eur. J. Appl. Physiol., 80, 423-435, 1999.
- 5) 宮崎善幸,安ヶ平浩,大道等: ラグビー選手に おける屋外ハイパワー持久性テストの有用 性の検討ーポジション別における疲労特性 を中心にー,国際武道大学紀要,17,23-27, 2001.

- 6) 宮崎善幸,大道等:生理科学的コーチング論を問う 第8章 研究室を捨ててフィールドに旅立とう!,コーチング・クリニック,15(10),32-35,2001.
- Maud, P. J., and Shultz, B. B.: Norms for the Wingate anaerobic test with comparison to another similar test, Res. Q. Exerc. Sport, 60, 144-151, 1989.
- 8) Cerretelli, P., and Di Prampero, P. E.: Handbook of Physiology, Sect 3, The Respiratory System, 297-339, Am. Physiol. Soc., Washington D. C., 1987.
- 9) 大澤弘幸,小泉佳右,藤田幸雄:ペダリング運動における間欠的最大無酸素パワーと換気特性の関係,千葉体育学研究,26,1-8,2002.
- 10) 藤田幸雄, 戸羽幸太, 小泉佳右, 真鍋求: 30 秒 全力ペダリング運動における Warm-up の強 度および部位特異性の検討, 千葉体育学研究, 27, 51-59, 2002.
- 11) 千葉智則: ラグビー競技者のトレーニングに 関する研究,東北学院大学論集 一般教育, 91, 139-161, 1987.
- 12) 熊谷秋三: 血中乳酸とパフォーマンス, 体育 の科学, 38, 687-696, 1988.
- 13) 高橋淳一郎,青木純一郎:水球競技のインターバルにおける Active rest が血中乳酸濃度の減少に及ぼす効果,体力科学,47,173-180,1998.
- 14) Brooks, G. A.: The lactate shuttle during exercise and recovery, Med. Sci. Sports Exerc., 18, 360-368, 1986.
- 15) Bangsbo, J., Johansen, L., Graham, T., and Saltin, B.: Lactate and H⁺ effluxes from human skeletal muscles during intense, dynamic exercise, J. Physiol., 462, 115-133, 1993.
- 16) Ahmaidi, S., Granier, P., Taoutaou, Z., Mercier, J., Dubouchaud, H., and Prefaut, C.: Effects of active recovery on plasma lactate and anaerobic power following repeated intensive exercise, Med. Sci. Sports Exerc., 28, 450-456,

1996.

- 17) Banister, E. W., Rajendra, W., and Mutch, B. J.: Ammonia as an indicator of exercise stress implications of recent findings to sports medicine, Sports Med., 2, 34-46, 1985.
- 18) Yano, T.: The differences in CO₂ kinetics during incremental exercise among sprinters, middle, and long distance runners, Jpn. J. Physiol. 37, 369-378, 1987.
- 19) Hirakoba, K., Maruyama, A., and Misaka, K.: Effect of endurance training on excessive CO₂ expiration due to lactate production in exercise, Eur. J. Appl. Physiol., 64, 73-77, 1992.